

## زمین شیمی عناصر خاکی نادر کانی‌های گروه گارنت برخی از مجموعه‌های دگرگونی ناحیه‌ای-خرد قاره ایران مرکزی

غلامرضا تاج بخش<sup>\*</sup>، سید محمدعلی موسوی زاده

گروه زمین‌شناسی، پردیس علوم، دانشگاه یزد، یزد، ایران

(دریافت مقاله: ۹۸/۴/۱۸، نسخه نهایی: ۹۸/۷/۱۴)

چکیده: مقدار و چگونگی تمرکز عناصر کمیاب و خاکی نادر بلورهای گارنت وابسته به دگرگونی ناحیه‌ای مناطق دهسلم، زمان‌آباد، میشدوان و تنبور در خرد قاره ایران مرکزی بررسی شد. این بلورها بیشتر از میکاشیستهای غنی از منگنز و منیزیم است. الگوی عناصر خاکی نادر این کانی‌ها در دو دسته کلی غنی از عناصر خاکی نادر سنگین و غنی از عناصر خاکی نادر سبک قرار می‌گیرند. مقدار و چگونگی تغییرات عناصر کمیاب این کانی‌ها بیانگر غنی بودن سنگ مادر و فرایند جانشینی عناصر خاکی نادر سنگین و عناصر با شدت میدان بالا با کاتیون‌های دو ظرفیتی در ساختار بلورین است. غنی‌شده‌گی عناصر خاکی نادر سبک و سنگ دوست بزرگ یون نوع دوم نیز ناشی از عملکرد سیال‌های غنی از این عناصر و تابع نسبت ضرایب تفکیک عناصر کانی‌های در حال تعادل، تبلور یا واکنش با بلور گارنت است.

**واژه‌های کلیدی:** گارنت؛ عناصر خاکی نادر؛ دگرگونی ناحیه‌ای؛ ایران مرکزی.

زمین‌شناسی متنوعی دیده می‌شوند [۳]. از میان کانی‌های فرعی شاخص در بردارنده تمرکز بالای عناصر خاکی نادر، کانی‌های مونازیت، باستانزیت و زنوتایم اهمیت بیشتری دارند [۲] که اغلب در نفوذی‌های آذرین قلیایی و کربناتیت‌ها متبلور می‌شوند یا خاستگاه منابع پلاسربی هستند. افزون بر این سنگ‌ها، عناصر خاکی نادر در بسیاری از سنگ‌های آذرین، رسوبی و دگرگونی به صورت ناچیز وجود دارند. در این سنگ‌ها، عناصر خاکی نادر بیشتر در کانی‌های فرعی مانند پروفوسکیت، آپاتیت، زیرکن، اپیدوت (به ویژه آلانیت)، گارنت و رسهای تمرکز می‌شوند. در سنگ‌های دگرگونی، کانی‌های گروه گارنت می‌توانند دارای تمرکز بالای عناصر خاکی نادر باشند. این کانی‌های به نسبت شاخص و مهم، در بیش از ۳۰ همبرزاد معدنی با خاستگاه ماقمایی، دگرگونی و دگرنهاده دیده می‌شوند. رفتار زمین‌شناسی و توزیع عناصر کمیاب در گارنت در سیستم‌های آذرین و مدل سازی‌های سنگ‌زایی ماقمایها به

### مقدمه

عناصر خاکی نادر شامل ۱۵ عنصر خانواده لانتانیدها و دو عنصر واسطه ایتریم و اسکاندیم (به دلیل شباهت‌های زمین‌شیمیایی این دو عنصر) هستند. عناصر خاکی نادر بر اساس رفتارهای LREE (La, Ce, Pr), عناصر خاکی نادر سبک یا Nd (MREE), عناصر خاکی نادر سنگین یا (Pm, Sm, Eu, Gd, Tb, Dy) و عناصر خاکی نادر سنگین یا (Ho, Er, Tm, Yb, Lu) HREE یا (Eu) سبک (گروه Ce) از La تا Sm و سنگین (گروه Y) از Eu تا Lu به همراه Y تقسیم می‌شوند [۲]. این عناصر به دلیل باریونی و شعاع یونی نسبتاً بزرگ، برای جایگزینی عناصر اصلی طی تبلور و رشد تمایل کمتری دارند و بیشتر به عنوان عناصر ناسازگار در ماقماهای باقیمانده سرشار از کمپلکس‌های آنیونی هالید، کربنات، فسفات و ... متمرکز می‌شوند. ذخایر اقتصادی عناصر خاکی نادر (REE) در محیط‌های

گارنت به صورت دستی از سنگ یا رسوب‌های رودخانه‌ای جدا شده، و سپس با استفاده از میکروسکوپ دو چشمی بلورهای سالم و خالص از هر مجموعه انتخاب شدند. به منظور جداسازی کانی‌های همراه در سطح بلورها یا لبه‌های واکنشی و از بین بردن کربنات‌های احتمالی، نمونه‌ها پس از سایش و خردایش مختصر، با اسید کلریدریک  $0.1\text{ M}$  مولار و آب مقطر شستشو شدند. لبه بلورهای بسیار درشت گارنت زمان‌آباد تنها با دستگاه بشش بریده شد. پس از تهیه حدود  $150-50\text{ g}$  نمونه از نقاط مختلف هر منطقه، نمونه‌ها در آزمایشگاه MS Analytical Laboratory کانادا به روش طیفسنجی جرمی پلاسمای جفت شده القایی (ICP-MS) تجزیه شدند (جدول ۱ و ۲). برای تعیین نسبت  $\text{Fe}^{3+}/\text{Fe}^{2+}$  به گارنت‌ها از تعادل بار و معیارهای عنصرسنجی به روش مرجع [۱۸] استفاده شد. نرم افزارهای شناسی و زمین شیمیایی استفاده شدند.

#### زمین شناسی

با توجه به فراوانی گارنت و رخمنون لایه‌های سرشار از آن در خرد قاره ایران مرکزی [۱۹]، چهار منطقه دهسلم نهبدان در قطعه لوت، دو مجموعه زمان‌آباد و میشدوان در شمال شرق ساغند و جنوب غرب معدن آهن میشدوان بافق در قطعه پشت بادام به همراه مجموعه دگرگونی تنبور در کمربند دگرگونی پهنه سندنج-سیرجان بررسی شدند (شکل ۱). سنگ مادر این مجموعه‌ها بیشتر شامل ردیفهای رسوبی رسی، کربناتی و کمتر آتشفسانی است که همه دچار دگرگونی چند فازی شده‌اند و اغلب رخساره‌های شیست سبز تا آمفیبوليٹ را نشان می‌دهند.

**مجموعه دگرگونی دهسلم:** این مجموعه در پهنه ایران مرکزی در مرز صفحه لوت جنوبی و پهنه جوش خورده سیستان واقع است. این مجموعه دگرگونی-ماگمایی بیشتر از سنگ‌های دگرگونی برآمده از سنگ‌های مادر ماسه سنگ، شیل، رسوب‌های کربناتی، مارن و سنگ‌های آتشفسانی هستند که طی سه فاز جداگانه دگرگونی [۲۰] و یا طی یک رویداد دگرگونی ناحیه‌ای در زمان ژوراسیک پسین [۲۱] تشکیل شده‌اند. در شمال این مجموعه، توده‌های گرانیتوئیدی به سه  $163-166\text{ میلیون سال}$  دیده می‌شود که در این مجموعه نفوذ کرده و موجب دگرگونی مجاورتی شده‌اند [۲۲].

کار برده شده است [۴]. در سنگ‌های دگرگونی نیز، ترکیب کانی شناسی گارنت‌ها اطلاعات بالرزشی از ترکیب تعادلی سنگ، دما، فشار، سرعت و زمان بندی رشد بلور را در طیف گسترده‌ای از شرایط فراهم می‌کنند [۵]. تفکیک REE بین گارنت و کلینوپیروکسن به دما، فشار و ترکیب کانی شناسی آنها وابسته بوده و برای محاسبات زمین فشار-دما سنجی مورد استفاده قرار گرفته است [۶]. عناصر خاکی نادر طیف گسترده‌ای از رفتارهای توزیع در گارنت‌ها را نشان می‌دهند. عناصر خاکی نادر سبک در گارنت ناسازگارند، ولی عناصر خاکی نادر سنگین سازگاری متوسط تا بالایی دارند. امروزه گارنت‌ها به عنوان یک حامل مهم YHREE+ در نظر گرفته می‌شوند که انواع ماگمایی آن کمتر از  $3\text{ درصد وزنی}$  و انواع دگرگونی تا  $13\text{ درصد وزنی}$  این عناصر را در خود جای می‌دهند [۷، ۸].

مهمترین و مستعدترین مناطق احتمالی دارای عناصر خاکی نادر که در ایران مورد بی جویی قرار گرفته‌اند شامل کانسارهای آهن-آپاتیت [۹]، نفوذی‌های آذرین قلیایی [۱۰، ۱۱]، کانسارهای اکسید آهن گرمابی و اسکارنی [۱۲]، کانسارهای جذب سطحی و بازنده لاتریت‌ها [۱۳]، رگه‌های پگماتیتی، کانسارهای همراه با ذخایر اورانیم [۱۴]، ذخایر وابسته به کانسارهای سرب و فلوریت [۱۵]، کانسارهای همراه با ذخایر زغال سنگ [۱۶] و کانسارهای پلاسربی مونازیت [۱۷] هستند. با وجود بررسی‌های جامع پیرامون رفتار و چگونگی تمرکز عناصر کمیاب در گارنت‌های رخسارهای دگرگونی ناحیه‌ای نقاط مختلف جهان، تاکنون مقدار عناصر کمیاب و خاکی نادر گارنت‌ها در سنگ‌های دگرگونی ناحیه‌ای ایران زمین بررسی نشده است. با توجه به ارزش افزوده و کاربرد روز افرون عناصر خاکی نادر در صنایع مختلف و فراوانی گارنت در انواع سنگ‌ها و رخسارهای بوم‌های دگرگونه ایران زمین، این پژوهش به بررسی و پتانسیل‌یابی اولیه این عناصر در برخی از رخمنون‌های سنگی سرشار از کانی‌های گروه گارنت بعضی از مجموعه‌های دگرگونی خرد قاره ایران مرکزی می‌برداشد.

#### روش بررسی

پس از بازدیدهای صحرایی اولیه و نمونه برداری از نقاط مختلف سرشار از گارنت هر مجموعه، از  $27\text{ نمونه سنگی}$  مناسب نازک تهیه و از دید سنگنگاری و سنگ بافتی بررسی شدند. برای تعیین مقدار عناصر کمیاب گارنت‌ها، نخست بلورهای

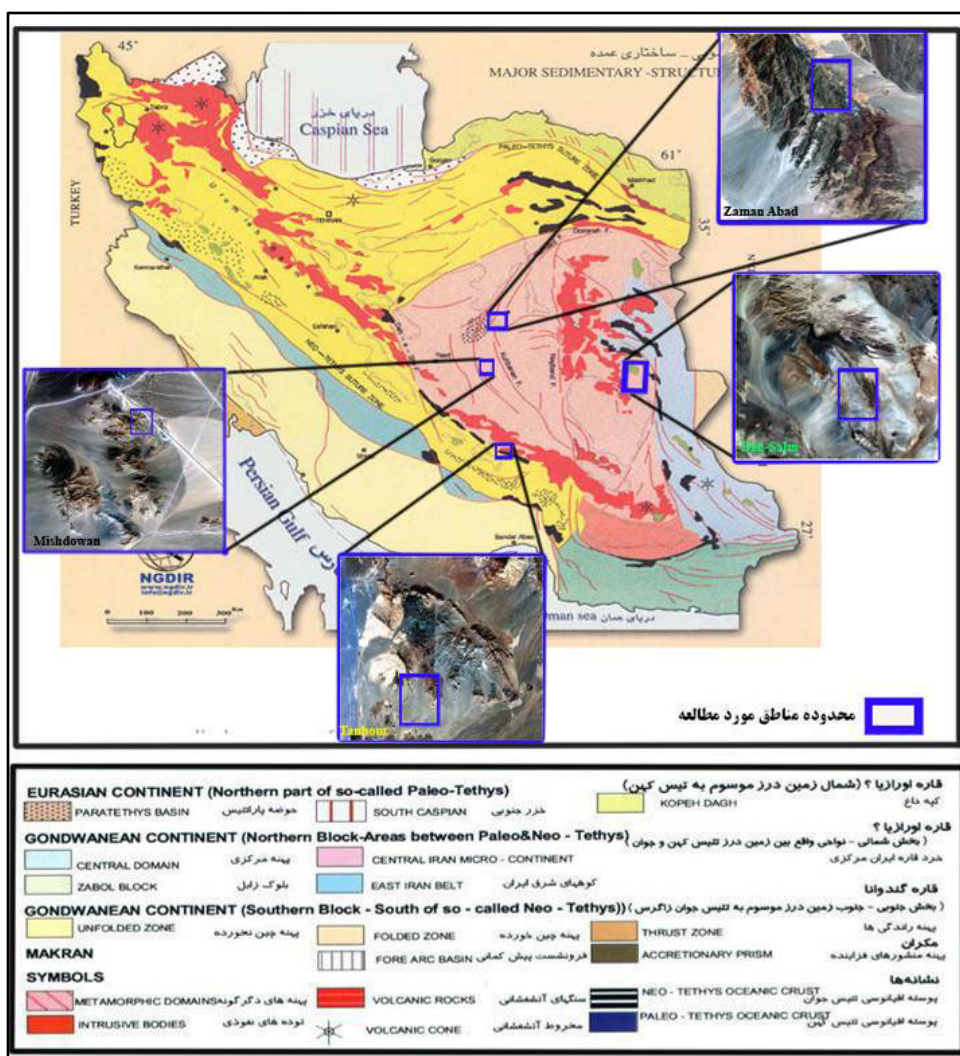
جدول ۱ نتایج تجزیه شیمیایی اکسیدهای اصلی گارنت های مناطق مورد بررسی (بر حسب درصد).

نمونه	ده سلم	مسندوان	تنبور	زمان آباد ۱	زمان آباد ۲
عرض جغرافی	"N6211731	"N2594931	"N761026029	"N78443792	"N510540322
طول جغرافی	"E11129059	"E194431055	"E70653055	"E037538055	"E681939055
ترکیب اکسید (درصد وزنی)					
SiO <sub>2</sub>	۳۵.۱۹	۴۰.۹	۳۹.۹۲	۳۸.۱۶	۴۹.۶۴
Al <sub>2</sub> O <sub>3</sub>	۱۹.۴۱	۱۸.۷۷	۱۸.۶۳	۱۸.۴۷	۱۴.۳۵
CaO	.۸۸	.۹۷	۴.۰۹	۵.۱۵	۵.۸۸
Fe <sub>2</sub> O <sub>3</sub>	۳۴.۵۹	۳۵.۵۹	۳۲.۶۹	۳۴.۱۴	۲۷.۶۰
K <sub>2</sub> O	.۰۰۲	.۰۰۲	.۰۰۲	.۰۰۵	.۰۲۱
MgO	۱.۸۴	۱.۳۲	۲.۰	۲.۲۸	۱.۶۷
MnO	.۵۵	.۵۷	۱.۰۳	۱.۷۹	.۹۱
Na <sub>2</sub> O	.۰۰۲	.۰۰۵	.۰۰	.۰۰۶	.۰۰۷
P <sub>2</sub> O <sub>5</sub>	.۰۰۵	.۰۱۳	.۰۱	.۰۲۱	۱.۶۰
BaO	.۰۰۱	.۰۰۱	.۰۰۱	.۰۰۱	.۰۰۱
Cr <sub>2</sub> O <sub>3</sub>	.۰۰۴	.۰۰۴	.۰۰۳	.۰۰۴	.۰۰۲
SrO	.۰۰۱	.۰۰۱	.۰۰۱	.۰۰۱	.۰۰۱
TiO <sub>2</sub>	.۰۱۳	.۰۵۱	.۰۸۸	.۰۹۶	.۰۵۹
Total	۹۷.۶۹	۹۸.۰۸	۱۰۰.۱۴	۱۰۱.۳۳	۹۹.۵۶
تعداد کاتیون ها براساس ۱۲ اکسیژن					
Si	۵۹۴۵۹۴	۶۳۹	۶۴۶	۶۰۰	۷۲۷
Ti	.۰۰۲	.۰۰	.۰۱۱	.۰۳۵	.۰۱۹
Al	۳۸۶	۳۵۳	۳۵۰	۳۴۳	۲۶۴
Fe	۴۸۸	۴۷۵	۴۲۶	۴۴۹	۳۶۰
Mn	.۷۹	.۰۰۸	.۰۱۴	.۰۲۴	.۰۱۲
Mg	.۴۶	.۰۳۱	.۰۵۲	.۰۵۳	.۰۳۹
Ca	.۱۶	.۰۱۷	.۰۷۸	.۰۸۷	.۰۹۸
Na	.۰۰۱	.۰۰۲	.۰۰۱	.۰۰۲	.۰۰۲
K	.۰۰۰	.۰۰	.۰۰	.۰۰۱	.۰۰۴
سازی گارنت (درصد کسر مولی)					
الماندین	۷۶.۵۴	۸۹.۵۱	۷۵.۹	۷۲.۶۵	۷۰.۷۱
پیروپ	۷۷۱	۵۹۲	۹.۰۱	۸.۹۱	۷.۶۳
اسپیارتین	۱۲۱۰	۱۴۵	۲.۴۰	۳.۹۸	۲.۳۶
گ-آری*	۲۶۵	۲۱۳	۱۳۵۱	۱۴۴۷	۱۹۳۰
مجموع	۱۰۰	۱۰۰	۱۰۰	۱۰۰	۱۰۰
گرسولا	۹۷.۴۶	۹۲.۰۲	۹۶.۹۷	۸۷.۵۴	۹۲.۲۲
أندراديت	۷۴۱	۷۸۵	۲۹۲	۱۲۳۴	۶۶۰
بواروویت	.۱۳	.۰۱۳	.۰۱۰	.۰۱۳	.۰۰۹

\*مجموع درصد سازنده های گرسولا، آندرادیت و بواروویت.

جدول ۲ نتایج تجزیه عناصر کمیاب و خاکی نادر میانگین گارنت های مناطق مورد مطالعه به روش ICP-MS

نمونه	ده سلم	مسندوان	تنبور	زمان آباد ۱	زمان آباد ۲
عناصر کمیاب (ppm)					
Ba	۱۲.۹۰	۶۶.۴۰	۱۵.۵۰	۴۸.۷۰	۶۰.۰۰
Nb	۱.۰۰	۵۲.۹۰	۱۴.۸۰	۹.۱۰	۵۵.۹۰
Rb	۱.۰۰	۵۳۰	۱.۰۵	۱.۶۰	۵.۹۰
Sr	۴.۹۰	۴۶.۷۰	۶.۸۰	۹.۴۰	۵۶.۴۰
Ta	.۰۴۰	۲۲۰	۱.۲۰	.۰۸۰	۲.۳۰
Th	.۰۹۴	۵۲۸	۲.۷۹	۱.۳۹	۱.۶۵
U	.۰۵۹	۳۷۲	۱.۷۵	۱.۲۳	۱.۴۶
Zr	۱۱۴	۶۲۰	۲۱۳	۴۱۵	۵۲۱
عناصر کمیاب خاکی (ppm)					
La	۷.۱۰	۷۰۰۴۰	۲۴۷۰	۲۰.۵	۵۱.۱۰
Ce	۱۶۵۰	۱۲۲۸۰	۴۶۲۰	۴۷۷۰	۱۱۶۷۰
Pr	۱.۸۶	۱۶.۶۸	۵.۹۲	۵.۸۶	۱۰.۴۹
Nd	۶.۶	۶۵.۱۰	۲۱۹۰-۲۱.۹	۲۵۳۰	۶۹.۹۰
Sm	۲.۵۳	۱۴۰۱	۴.۲۸	۸.۱۸	۱۷۶۱
Eu	.۰۸۲	۴۱۷	۱.۱۴	۲.۰۷	۵.۸۵
Gd	۱۶.۸۶	۱۸.۷۷	۶.۶۶	۲۵۳۰	۲۱.۸۵
Tb	۹.۸۴	۴.۷۷	۱.۸۰	۷.۵۷	۳.۵۸
Dy	۱۰.۷۳	۲۲۷۱	۱۴۸۵	۶۴۷۷	۱۸.۲۴
Ho	۳۷۷۰	۶۵۰	۲.۳۶	۱۴.۵۰	۲.۶۳
Er	۱۳۲.۴۷	۱۸.۲۹	۱.۰۷۰	۴۱.۸۹	۵.۸۷
Tm	۲۲.۴۳	۲۷۱	۱.۷۷	۶۳۷	.۷۲
Yb	۱۴۲.۷۹	۱۵.۹۶	۱۱.۶۸	۳۹.۱۸	۴.۰۱
Lu	۲۲.۱۹	۲۳۶	۱.۹	۵.۹۲	.۰۵۵
Y	۱۱۲۲.۵۰	۱۷۴۷۰	۹۲۲۰	۴.۴۶۰	۶۹.۷۰
ΣREE	۵۵۲.۰۴	۳۹۷۸۳	۱۵۶۸۶	۳۱۵۷۱	۳۳۴.۱۰
ΣLREE	۳۵۲۴	۲۹۶۱۶	۱۴.۱۴	۱۱.۶۱	۲۷۶.۶۸
ΣHREE	۵۱۶۸۰	۱۰.۱۷	۵۲۷۲	۲.۰۵۱۰	۵۷۸.۵۰
Y+ΣREE	۱۶۷۴.۵۴	۵۷۱.۵۳	۲۴۹.۶	۷۰.۳۱	۴۰.۳۸۰
Eu/Eu*	.۰۳۹	.۰۷۹	.۰۶۵	.۰۶۵	.۰۹۱
Ce/Ce*	۳۷۰	۲.۷۶	۲.۹۶	۲.۲۷	۳.۲۰
La <sub>(N)</sub> /Eu <sub>(N)</sub>	۲.۹	۴.۲۵	۵.۳۰	۱.۶۳	۲.۱۴
Lu <sub>(N)</sub> /Eu <sub>(N)</sub>	۶۱.۰۵	۱.۲۹	۳.۸	۴.۴۰	.۲۱



شکل ۱ جایگاه مناطق مورد بررسی در نقشه ایالت‌های ساختاری ایران [۱۹].

**مجموعه دگرگونی میشدوان:** سنگ‌های این سری در شمال شرق بافق و جنوب معدن سنگ آهن میشدوان در قطعه پشت بادام بروزند دارند. این مجموعه در نقشه زمین شناسی پشت بادام، بخشی از مجموعه بنه شورو به سن پرکامبرین و در ورقه اسفورده، مجموعه درهم میشدوان نامیده شده است. سنگ مادر این مجموعه نیز بیشتر ردیفی رسی، ماسه سنگ و سنگ آهک با بین لایه‌هایی از توف و سنگ‌های آذرین است که در رخساره آمفیبولیت و شیست سبز طی چند فاز دگرگونی تغییر یافته‌اند.

**مجموعه دگرگونی تنبور:** مجموعه دگرگونی تنبور به سن پالئوزوئیک در شرق سیرجان و آخر پهنه دگرگونی ستندج-سیرجان قرار دارد. سنگ مادر سنگ‌های دگرگونی بیشتر رسی-مارنی و آهکی به همراه نفوذی‌های بازی است که طی سه [۲۴] یا چهار فاز دگرگونی [۲۵] در رخساره‌های شیست

**مجموعه دگرگونی زمان‌آباد:** این مجموعه بخشی از مجموعه‌های دگرگونی بنه شورو و تاشک از پهنه ایران مرکزی است که بیشتر در کوههای ناتک، زمان‌آباد و پلو در شرق گسل پشت بادام گسترش دارند. مجموعه بنه شورو شامل از میکاشیست، گنیس، آمفیبولیت، مرمر و کوارتزیت است که آمفیبولیت‌های دارای گارنت‌های درشت گسترش بیشتری دارند. سن سنگ مادر آمفیبولیت‌ها حدود ۵۴۷ میلیون سال اندازه گیری شده است [۲۳] که در تناب و با میکاشیست‌ها قرار دارد و به وسیله توده‌های گرانیتی مورد هجوم قرار گرفته‌اند. سازند تاشک به طور ناپیوسته روی مجموعه بُنه شورو قرار دارد و شامل حدود ۲۰۰۰ متر صفحه‌های همگن، ماسه سنگ تیره دانه‌ریز و ماسه سنگ آرکوزی است که در اثر دگرگونی به شیست، فیلیت، اسلیت، میکا شیست و ماسه سنگ تیره دگرگونه تبدیل شده‌اند.

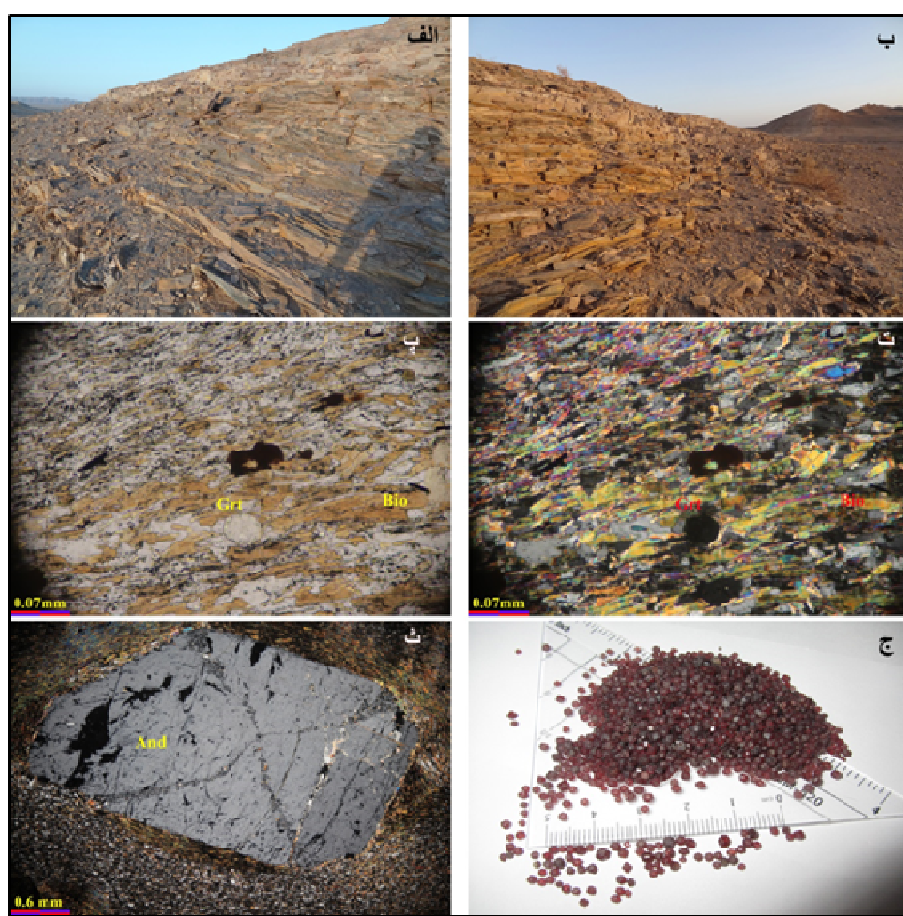
الکترونی [۲۱] همخوانی دارد. نتایج تجزیه ریزپردازش الکترونی گارنت‌های موجود در سنگ‌های رسی دگرگونه مجموعه دگرگونی دهسلم نشان از روند افزایشی عناصر Mg و Fe و کاهشی Mn از مرکز به لبه بلور دارد. همچنین از غرب به سمت شرق، ترکیب گارنت‌ها از آلماندن غنی از اسپسارتین به آلماندن غنی از سازای پیروپ تغییر می‌کند. روند افزایشی و تدریجی Fe و Mg و روند کاهشی Mn از مرکز به لبه درشت بلورهای گارنت می‌تواند نشانه رشد پیوسته و سریع و نبود دگرگونی برگشتی باشد [۲۰].

**مجموعه دگرگونی زمان‌آباد:** پایین‌ترین بخش‌های مجموعه دگرگونی بنه شورو در غرب کوه ناتک (کوه اسکمبیلو) شامل ردیف ستبری از میکاشیست، بیوتیت آمفیبول شیست، گارنت شیست و استارولیت شیست با میان لایه‌هایی از آمفیبولیت، مرمر، کوارتز و سرپانتینیت است (شکل ۴). این ردیف به طرف بالا به تناوبی از گنیس و آمفیبولیت با ساختهای نواری و به طور جانی به واحدهای گنیس بیوتیت-آمفیبول دار و گنیس صورتی تبدیل می‌شود.

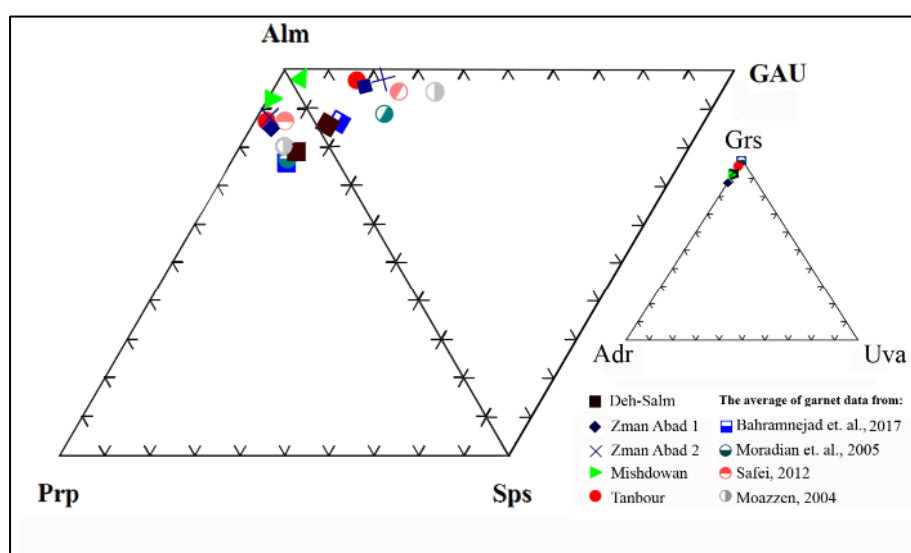
بافت عده قابل مشاهده در گارنت شیست‌ها شکفته بلوری - ورقه شکفتی (تا ناخ شکفتی) و غربالی و در انواع دانه درشت تر، گاه دانه شکفتی با زمینه‌ای از بلورهای متوسط تا درشت کانی‌های کوارتز، بیوتیت، مسکویت و تورمالین است. گارنت آمفیبولیت‌ها بافت شکفته بلوری - نخ شکفتی و در برخی نقاط دانه شکفتی نشان می‌دهند که افزون بر آمفیبول سبز-آبی و پلاژیوکلاز، کانی‌های اپیدوت، کلریت، بیوتیت و اسفن نیز دارند. گارنت، استارولیت و آمفیبول سبز-آبی عده شکفته بلورهای این منطقه هستند (شکل ۵). آمفیبول‌ها از نوع کلسیمی و از نوع هاستنگزیت- چرم‌کیت هستند [۲۷]. گارنت‌ها بر پایه جایگاه و رخساره دگرگونی حاکم بر سنگ‌ها به دو صورت دیده می‌شوند: نوع اول شامل بلورهای خود شکل دارای وجود بلورین متوسط تا درشت (حدود ۰.۵ تا ۱.۵ سانتی متر) به رنگ قهوه‌ای تیره تا سیاه و کم و بیش دارای منطقه- بندی شیمیایی (زمان‌آباد ۱) و نوع دوم به صورت گارنت‌های بزرگ به رنگ قرمز تا قهوه‌ای به ابعاد چند سانتی متر که بیشتر مجموعه‌های چند بلوری با هم رشد کرده‌اند و غده مانند هستند (زمان‌آباد ۲، شکل ۴ ب). گارنت‌های بزرگ به صورت غربالی سرشار از میانبارهای کوارتز، بیوتیت، زیرکن، اپیدوت، آمفیبول، کانی کدر و ... هستند (شکل‌های ۵ پ و ت) که نشانه نبود زمان کافی برای ایجاد تعادل و همگن سازی بلور است.

سبز تا آمفیبولیت دگرگون شده‌اند. سن دقیق دگرگونی مشخص نیست، اما به احتمال بسیار می‌توان بسته شدن اقیانوس نوثوتیس و برخورد قاره‌ای صفحه عربستان با خردۀ قاره ایران مرکزی [۲۶] و یا فاز کوهزایی سیمیرین پیشین [۲۵] را در تشکیل این سنگ‌های دگرگونی موثر دانست.

**سنگ شناسی و شیمی کانی گارنت مجموعه دگرگونی دهسلم:** سنگ‌های دگرگونی این مجموعه اغلب شامل اسلیت، فیلیت، شیست (شکل‌های ۲ الف و ب)، آمفیبولیت و مرمر است که در سه بخش سنگ‌های دگرگونی ناحیه‌ای، دگرگونه‌های دما بالا و سنگ‌های دگرگونی مجاورتی جای می‌گیرند [۲۰]. حجم بسیاری از مجموعه دگرگونی دهسلم را شیست‌های گارنت و آندالوزیت دار تشکیل می‌دهد. سیلیمانیت شیست و گارنت - استارولیت شیست‌ها نیز بیشتر در توده اصلی و جنوب غربی مجموعه دیده می‌شوند. بهرام تزاد و همکاران [۲۱]، سنگ‌های رسی دگرگونه‌های مجموعه دهسلم را از غرب به شرق شامل گارنت‌شیست، استارولیت - گارنت‌شیست، آندالوزیت - گارنت‌شیست، گارنت-بیوتیت گنیس و میگماتیت می‌دانند که نشان از افزایش دمای دگرگونی و کاهش فشار به سوی شرق دارد. مقدار گارنت در شیست‌های بخش جنوب غربی قابل توجه است، به طوری که شیست‌های گارنت دار، یک واحد سنگی متمایز بوجود آورده اند. گارنت شیست‌ها با بافت شکفته بلوری - ورقه شکفتی بیشتر در بردارنده شکفته بلورهای گارنت ریز و شفاف و بدون میانبار در زمینه‌ای از کوارتز، بیوتیت، مسکویت، کلریت و آلبیت هستند (شکل‌های ۲ پ و ت). استارولیت در حال تبدیل به بیوتیت، کیاستولیت و سیلیمانیت، شکفته‌بلورهای درشت‌تر این سنگ‌ها هستند. کیاستولیت‌ها با چند سانتی متر طول اغلب خود شکل هستند (شکل ۲ ث). با افزایش مقدار آندالوزیت در سنگ‌ها، از فراوانی گارنت کاسته شده است. در اثر هوازدگی این سنگ‌ها، گارنت‌های مقاوم تر به مقدار قابل توجهی در رسوب‌های رودخانه‌ای نزدیک رخمنون‌ها انباسته شده‌اند. بلورهای گارنت در حد میلیمتر و به ندرت تا ۳ میلیمتر اغلب به رنگ قرمز تا قهوه‌ای (شکل ۲ ج) اما در استارولیت شیست‌ها روش تر و شفاف تر هستند [۲۰]. ترکیب کانی شناسی میانگین گارنت‌های دهسلم شامل ۷۶/۵۳ درصد آلماندین، ۷/۷۱ درصد پیروپ، ۱۳/۱۱ درصد اسپسارتین و ۲/۶۵ درصد گرسولار، (Alm<sub>76.53</sub>Pyr<sub>7.71</sub>Sps<sub>13.11</sub>) GAU<sub>2.65</sub> است (شکل ۳). این ترکیب با نتایج تجزیه‌های ریزپردازشی



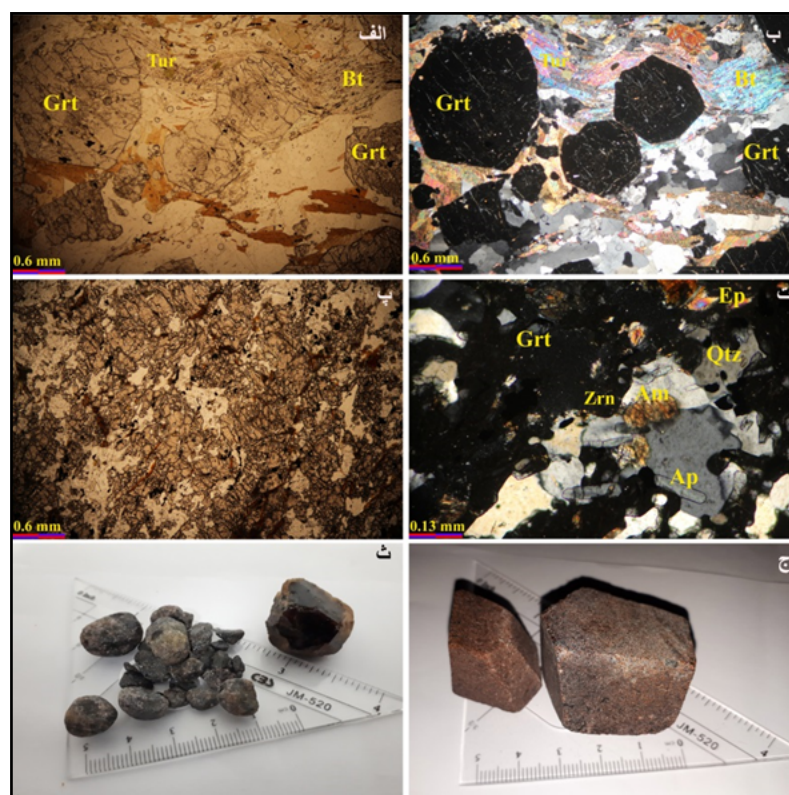
شکل ۲ (الف و ب) ردیف میکاشیست‌های گارنت دار دهسلم (دید به سوی شرق)، (پ و ت) بلورشفاف و خودشکل گارنت در میکاشیست به ترتیب در نور قطبیده صفحه‌ای (PPL) و متقاطع (XPL)، (ث) بلور خودشکل و پیش از زمین‌ساخت کیاستولیت (XPL) و (ج) بلورهای گارنت جدا شده دهسلم.



شکل ۳ ترکیب کانی شناسی میانگین گارنت‌های مناطق مورد بررسی و مقایسه آنها با میانگین نتایج تجزیه ریزپردازش الکترونی پیشین [DOI: 10.29252/ijcm.28.2.383] [DOR: 20.1001.1.17263689.1399.28.2.9.1]. علائم اختصاری عبارتند از Alm: آلماندین، Prp: پیراپ، Sps: اسپسارتیت، G.A.U.: مجموع گرسولار، آندرادیت و یواروویت، Grs: گرسولار، Adr: آندرادیت و Uva: یواروویت.



شکل ۴ (الف) تناوب گارنت و استارولیت شیست مجموعه دگرگونی بنه شورو و تاشک (دید به سوی جنوب)، (ب) بلورهای بسیار درشت گارنت (زمان آباد ۲). (پ و چ) بلورهای خود شکل استارولیت شیست زمان آباد.

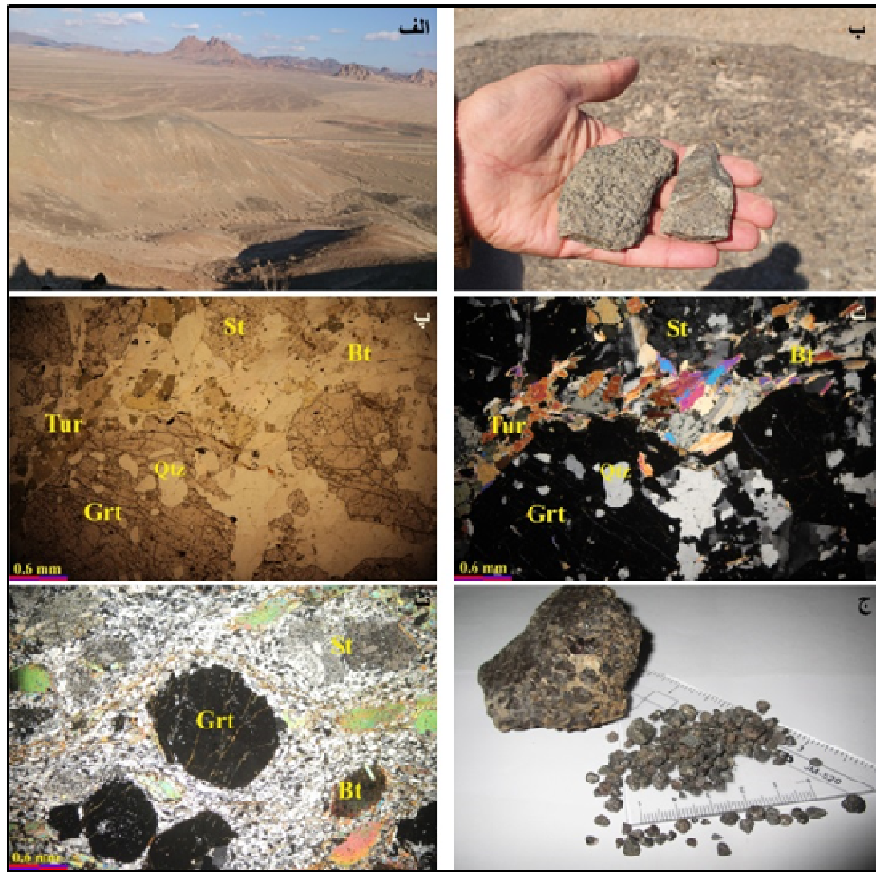


شکل ۵ (الف و ب) بلورهای خود شکل و دارای منطقه بندي زمان آباد ۱ به ترتیب در نورهای PPL و XPL، (پ) تصویر میکروسکوپی بخشی از گارنت زمان آباد ۲ (PPL)، (ت) میانبارهایی از کانی های زیرکن، آمفیبول، آپاتیت، اپیدوت و کوارتز در گارنت زمان آباد ۲ (XPL)، (ث) بلورهای جدا شده گارنت زمان آباد ۱ و (ج) بلورهای گارنت جدا شده و برش خورده زمان آباد ۲.

دلیل اختلاف ترکیب لایه بندی اولیه سنگ رسوبی مادر، در برخی نقاط بخش‌های سرشار از استارولیت و گارنت تشکیل شده‌است (شکل‌های ۶ الف و ب). این بیانگر چیرگی دما و فشار رخسارهای شیست سبز تا آمفیبولیت است. بر اثر نفوذ توده‌های اسیدی و هجوم سیال‌های بعدی، کانی‌های آندالوزیت، کمی کردیریت و سپس تورمالین در این سنگ‌ها به وجود آمده‌است (شکل‌های ۶ پ تا ث). بافت شایع این سنگ‌ها، ورقه شکفتی، شکفته بلوری و میلونیتی است که شکفته بلورهای گارنت در حال کلریتی شدن، آمفیبول از نوع ترمولیت و اکتینولیت، استارولیت و آندالوزیت در سنگ دیده می‌شوند. گارنت‌ها خود شکل تا بی‌شکل و دارای میانبارهای کوارتز و بیوتیت هستند. ترکیب کانی شناسی میانگین گارنت‌های میشدوان شامل ۸۹/۵ درصد آلماندین، ۵/۹۲ درصد پیروپ، ۱/۴۵ درصد اسپسارتین و ۳/۱۳ درصد گرسولار، آندرادیت و یواروویت ( $\text{Alm}_{89.50}\text{Pyr}_{5.92}\text{Sps}_{1.45}\text{GAU}_{3.13}$ ) است (شکل ۳).

ترکیب کانی شناسی میانگین گارنت‌های زمان‌آباد ۱ به صورت ۷۲/۶۵ درصد آلماندین، ۸/۹۱ درصد پیروپ، ۱۴/۴۷ درصد اسپسارتین و یواروویت ( $\text{Alm}_{72.65}\text{Pyr}_{8.91}\text{Sps}_{3.97}\text{GAU}_{14.47}$ ) و ترکیب یک بلور گارنت بزرگ (زمان‌آباد ۲) ۷۰/۷۱ درصد آلماندین، ۷/۶۳ درصد پیروپ، ۲/۳۶ درصد اسپسارتین و ۱۹/۳۰ درصد گرسولار، آندرادیت و یواروویت ( $\text{Alm}_{70.71}\text{Pyr}_{7.63}\text{Sps}_{2.36}$ ) است (شکل ۳). گورابجیری و همکاران، [۲۷] گارنت موجود در آمفیبولیت‌ها را از نوع آلماندین- گرسولار گزارش کرده‌اند.

سری میشدوان: این مجموعه از قدیم به جدید شامل سنگ-هایی از نوع میکاشیست، گارنت شیست، گارنت استارولیت شیست، آمفیبول شیست، گنیس، شیست آهکی، مومر و دولومیت‌های دگرگون شده‌است. میکاشیست‌ها بیشتر دارای بلورهای بیوتیت، مسکوبیت، گارنت و کوارتز و به ندرت کانی‌های استارولیت، کیانیت، اپیدوت، اسفن، فلدسپار و ... هستند. به



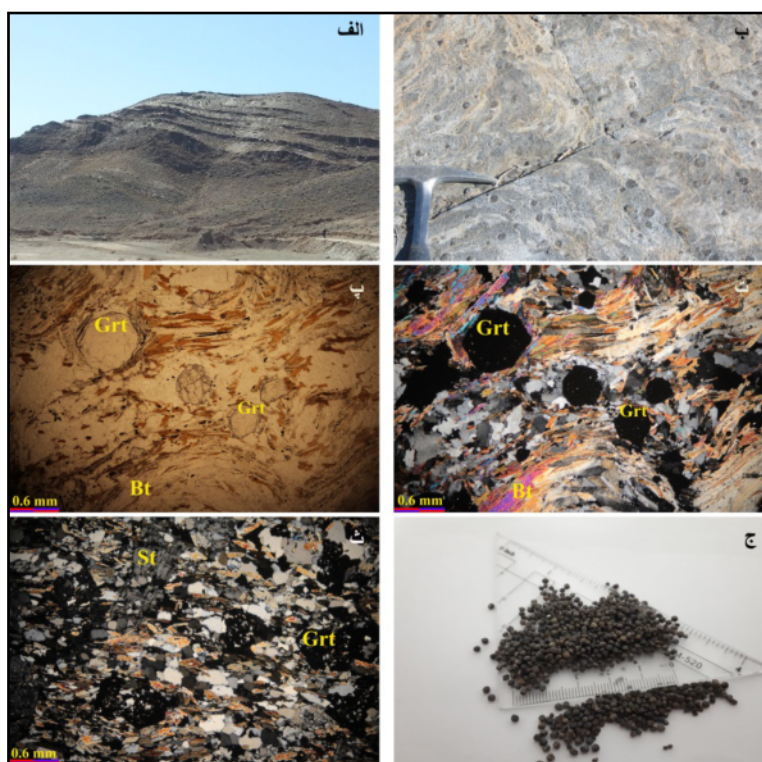
شکل ۶ الف) بخش غنی از گارنت (لایه تیره‌رنگ در دره) مجموعه میشدوان (دید به سوی شمال)، ب) همان نظر در نمای نزدیک تر، پ و ت تصویر میکروسکوپی گارنت شیست و رشد تورمالین در لبه گارنت و استارولیت به ترتیب در نورهای PPL و XPL، ث) بلورهای خودشکل گارنت و استارولیت پیش از زمین ساخت (XPL) و ج) بلورهای گارنت جدا شده میشدوان.

متراکم گارنت در برخی نقاط به تغییرات فشار و دما به همراه فعالیت سیال ها و عملکرد پهنه های برشی نسبت داده شده است [۲۹].

ترکیب کانی شناسی میانگین گارناتهای تنبور دارای ۷۵,۰۹ درصد آلمندین، ۹,۰۱ درصد پیروپ، ۲,۳۹ درصد اسپسارتین و ۱۳,۵۱ درصد گرسولار، آندرادیت و یواروویت (Alm<sub>75.09</sub>Pyr<sub>9.01</sub>Sps<sub>2.39</sub> GAU<sub>13.51</sub>) است (شکل ۳). نتایج تجزیه ریزپردازش الکترونی، ترکیب گارناتهای موجود در سنگهای این منطقه را دارای ۶۸,۵۴۴ تا ۶۰,۰۶۵ درصد آلمندن ۱۹,۹۸ تا ۱۶,۸۸ درصد گرسولار و ۷,۰۸ تا ۵,۴۲ درصد اسپسارتین نشان می دهد که گارناتهای آمفیبول شیست نسبت به میکاشیست دارای سازای آلمندین بیشتر و گرسولار کمتری هستند [۳۰]. این گارناتهای سازنده پیروپ بسیار پایینی دارند و غنی از آلمندین با مقدار قابل ملاحظه ای سازای گرسولار هستند [۳۱]. کاهش مقدار منگنز و کلسیم از هسته به لبه گارناتهای تواند در ارتباط با رشد در پهنه استارولیت [۲۸] یا ناشی از افزایش دما باشد [۲۵].

مجموعه دگرگونی تنبور: بخش عمده مجموعه تنبور را سنگهای دگرگونی چون کلریت شیست، بیوتیت شیست، گارنت شیست، آمفیبول شیست، کوارتز، گنیس، مرمر و شیستهای بازی تشکیل می دهند (شکل های ۷ الف و ب). کانی های ناشی از دگرگونی توالی رسی شامل مسکویت، کلریت، بیوتیت، گارنت، کوارتز، پلاژیوکلاز و استارولیت هستند که رخسارهای شیست سبز تا آمفیبولیت را نشان می دهند. ظهور کانی استارولیت برآمده از فاز بعدی دگرگونی پیشرونده است [۲۵].

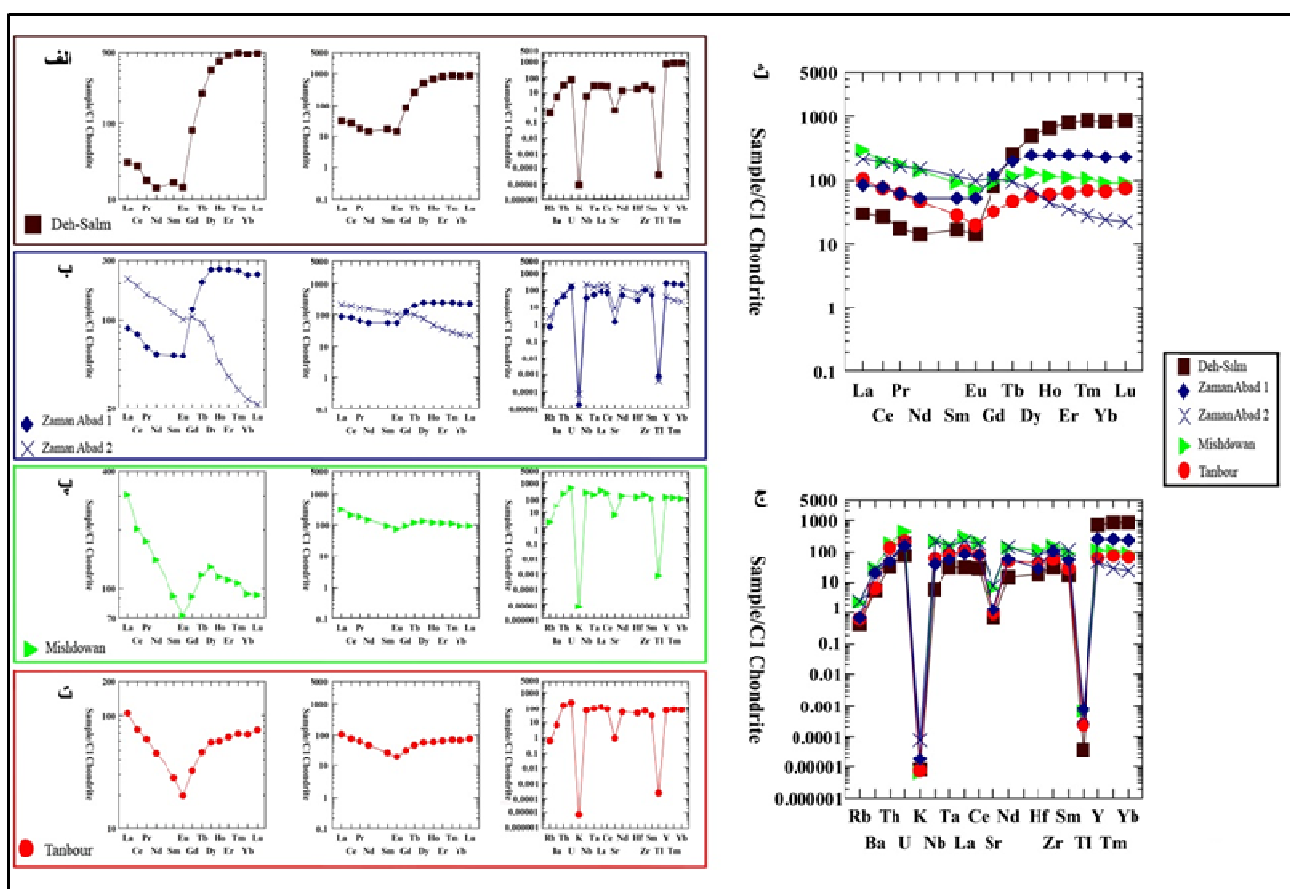
میکاشیستهای این منطقه بیشتر دارای بافت ورقه شکفتی و شکفته بلوری بوده که مهمترین و اصلی ترین درشت بلورهای موجود در آنها گارنت خود شکل و گاه بی شکل، استارولیت و بیوتیت در زمینهای از کانی های کلریت، بیوتیت، کوارتز، کانی های کدر، اسفن، زوئیزیت و زیرکن هستند (شکل های ۷ پ، ت و ث). بررسی ساختار داخلی شکفته بلورهای گارنت نشان می دهد که در چند فاز تبلور یافته اند [۲۸] و رشد آنها در سه مرحله پیش از زمین ساخت، همزمان با زمین ساخت و پس از آن رخ داده است. [۲۴]. تشکیل نوارهای غنی و بسیار



شکل ۷ الف) میکاشیستهای مجموعه دگرگونی تنبور (دید به سوی شمال)، ب) بلورهای گارنت در میکاشیستهای پ و ت) تصویر میکروسکوپی بلورهای گارنت خود شکل در گارنت میکاشیست به ترتیب در نورهای XPL و ب) همان در نورهای PPL و (ج) تصویر میکروسکوپی استارولیت گارنت شیست (XPL). ج) بلورهای گارنت جدا شده تنبور.

شیب کم این الگو برای LREEها با نسبت  $\text{La}_{(\text{N})}/\text{Eu}_{(\text{N})}$  برابر با ۲/۱ در دهسلم و ۱/۶ در زمانآباد مشخص شده و با افتادگی Nd نسبت به عناصر همسایه همراه است. بر عکس HREEها، غنی شدگی بیشتری در مقایسه با LREEها نشان می‌دهند و دارای نسبت  $\text{Lu}_{(\text{N})}/\text{Eu}_{(\text{N})}$  برابر با ۶۱ در دهسلم و ۴/۴ در زمانآباد هستند. دومین الگو، الگوی LREEها غنی شده یا V شکل است که در نمونه‌های تنبور و میشدوان دیده می‌شود. این الگو دارای غنی شدگی شدید از Eu به سمت La با نسبت  $\text{La}_{(\text{N})}/\text{Eu}_{(\text{N})}$  برابر با ۵/۳ و ۴/۲ و ۳/۸ و ۱/۳ در تنبور و میشدوان است. در الگوی نوع دوم، برخی از عناصر خاکی نادر سبک از سنگین نیز غنی شدگی بیشتری نشان می‌دهند. در میشدوان، غنی شدگی عناصر از Lu تا Dy برابر می‌شود.

**زمین شیمی**  
الگوهای غنی شدگی عناصر خاکی نادر نمونه‌های مورد بررسی نسبت به کندریت [۳۲]، در شکل ۸ نشان داده شده‌اند. در تقسیم بندی عناصر خاکی نادر سنگین و سبک از مرجع [۲] استفاده شده است. به جز گارنت‌های زمانآباد ۲، الگوهای هر چهار منطقه دارای نقطه عطفی در عنصر Eu هستند که کمترین غنی شدگی را نسبت به کندریت دارند. به عبارتی از عنصر Eu، روند نزولی الگوی LREEها به روندی صعودی برای HREEها تبدیل شده و بیشترین غنی شدگی در عناصر انتهایی هر دو گروه سنگین و سبک است. این سبک غنی شدگی و تهی شدگی سبب ایجاد دو الگوی اصلی و متفاوت شده که در هر دو، غنی شدگی همه عناصر خاکی نادر بیش از ۱۰ برابر کندریت است: نخست الگوی معمولی یا غنی از HREE که در گارنت‌های زمانآباد ۱ و دهسلم دیده می‌شود.



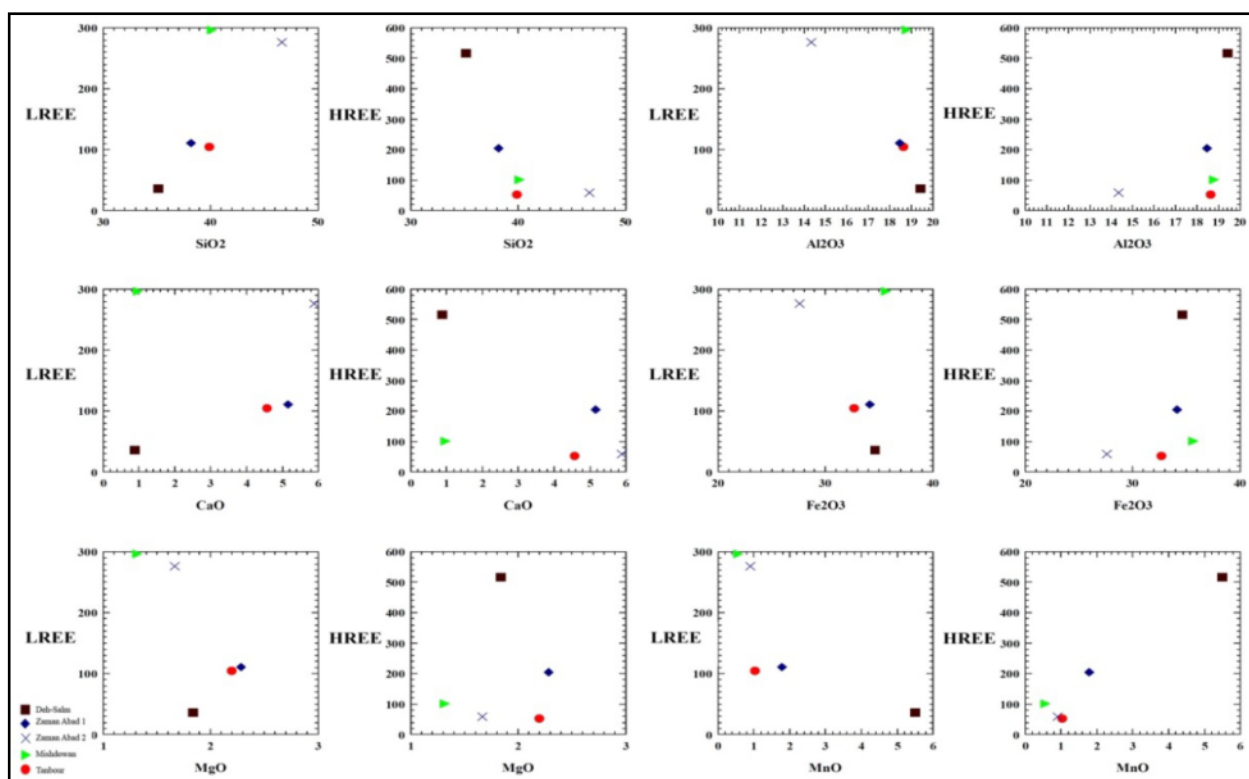
شکل ۸ الگوهای عناصر خاکی نادر و کمیاب بهنجار شده به کندریت [۳۲] گارنت‌های نادر مورد بررسی: (الف) دهسلم، (ب) زمانآباد ۱ و ۲، (پ) میشدوان و (ت) تنبور، (ث) مقایسه الگوی عناصر خاکی نادر نمونه‌های مناطق مختلف، (ج) مقایسه الگوی عناصر خاکی نادر نمونه‌های مناطق مختلف.

گارنت های مناطق مورد بررسی با  $\text{SiO}_2$  و  $\text{CaO}$  و  $\text{MgO}$  همبستگی مثبت و با  $\text{Al}_2\text{O}_3$  و  $\text{Fe}_2\text{O}_3$  و  $\text{MnO}$  همبستگی منفی نشان می دهند. به همین ترتیب مقدار HREE نمونه ها با  $\text{Al}_2\text{O}_3$  و  $\text{MgO}$  همبستگی منفی و با  $\text{Fe}_2\text{O}_3$  و  $\text{MnO}$  همبستگی مثبت نشان می دهند. در این میان، وابستگی این تغییرات به مقدار  $\text{SiO}_2$  و  $\text{Al}_2\text{O}_3$  و  $\text{MnO}$  و  $\text{Al}_2\text{O}_3$  و  $\text{MgO}$  شدیدتر است.

عناصر سنگ دوست  $\text{Ba}$ ,  $\text{Rb}$  و  $\text{Sr}$  همه نمونه ها نسبت به کندریت [۳۲] کمترین غنی شدگی را دارند که بیشینه این عناصر در میشدوان دیده می شود (شکل ۸ ج). عناصر با شدت میدان بالا (HFSE) چون  $\text{Ta}$ ,  $\text{Nb}$ ,  $\text{Hf}$  و  $\text{Zr}$  نیز رفتاری مشابه عناصر خاکی نادر دارند و نسبت به کندریت [۳۲] غنی شده اند. عناصر  $\text{U}$  و  $\text{Th}$  حدود ۲۰ تا ۳۰۰ برابر کندریت غنی شده اند.

بیشترین غنی شدگی HREE ها در دهسلم ۵۱۶/۸ ppm و پس از آن به ترتیب در زمان آباد ۱ (۲۰۵/۱ ppm)، میشدوان (۱۰۱/۶۷ ppm) و تنبور (۵۲/۷۲ ppm) است. از سوی دیگر، ppm بیشترین غنی شدگی LREE ها به ترتیب در میشدوان (۱۰۴/۱۴ ppm)، زمان آباد (۱۱۰/۶۱ ppm)، تنبور (۱۱۰/۱۶ ppm) و دهسلم (۳۵/۲۴ ppm) دیده می شود (شکل های ۸ و ۹). بیشترین مقدار Y نیز در گارنت های دهسلم با ۱۱۲۲ ppm کمترین آن با ۶۹/۷ ppm در گارنت های میشدوان دیده می شود که با تغییرات مقدار HREE در گارنت ها همخوانی دارد. عنصر Eu ناهنجاری منفی ناچیزی در همه نمونه ها نشان می دهد. نسبت  $\text{Eu}^*/\text{Eu}$  برای نمونه های دهسلم، زمان آباد ۱، تنبور، میشدوان و زمان آباد ۲ به ترتیب برابر با ۰/۳۹، ۰/۶۵، ۰/۷۹ و ۰/۹۱ است.

در شکل ۹، مقدار تغییرات این عناصر نسبت به برخی از اکسید های اصلی نشان داده شده است. مقدار LREE ها در



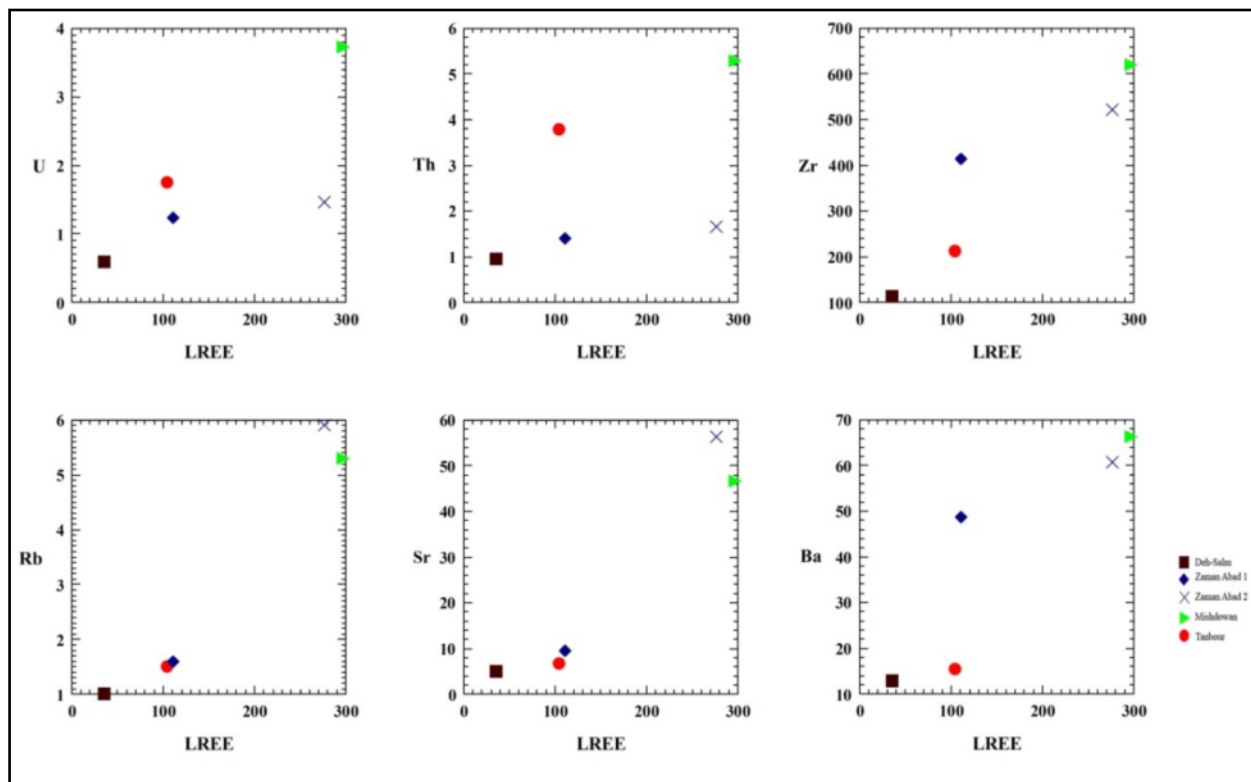
شکل ۹ تغییرات LREE ها و HREE ها نسبت به اکسید های اصلی گارنت ها.

## بحث

نمونه‌های مناطق تنبور (۱۳/۵۱ درصد) و زمان‌آباد (۱۴/۴۷ درصد) دیده می‌شود. این نوع کانی‌ها ویژه مناطق دگرگونی فشار متوسط تا بالا هستند. در شکل ۹، مشخص است که مقدار غنی‌شدگی REE‌ها به ویژه HREE‌ها رابطه مستقیمی با نسبت قطب‌های نهایی و نسبت اوگراندیت به پیرالسپیت ترکیب کانی شناسی دارد. با توجه به نوع تغییرات عناصر کمیاب نسبت به اکسیدهای اصلی و مقدار ناچیز O<sub>2</sub> در نمونه‌ها (۰/۰۲ تا ۰/۰۷ درصد وزنی)، جانشینی همراه سدیم (جانشینی شماره ۲) نمی‌تواند در تمرکز این عناصر در گارنت‌های این پژوهش نقش داشته باشد. همچنین از آنجا که جانشینی (Y)-Menzerite با گارنت‌های با بیش از ۲/۷ درصد ایتریوم معرفی شده است [۳۶]، به نظر می‌رسد که جانشینی YAG [۳۷] با توجه به عملکرد معکوس آلومینیم و سیلیس، مناسب ترین سازوکار جایگزینی عناصر خاکی نادر در گارنت‌هاست. با توجه به این رابطه و نزدیکی شعاع یونی منگنز سنگین [۳۴]، بیشترین تمرکز Y+HREE در نمونه‌های سنگین با همراهی Y+REE در نمونه‌های آن در میشدون و دهسلم با بیشترین مقدار MnO و کمترین آن در میشدون و تنبور است. در مجموعه دگرگونی ده سلم، شدت دگرگونی از غرب به شرق ده سلم بیشتر می‌شود و گارنت‌های بخش غربی مجموعه، وابسته به رخساره شیست سبز و آغاز پهنه گارنت هستند [۲۱، ۲۲]. از آنجا که گارنت‌های اولیه وابسته به دگرگونی‌های درجه پایین تر از منگنز غنی ترند [۲۱]، نمونه‌های این منطقه از مجموعه ده سلم به شدت از Y+HREE غنی شده اند. این دیدگاه با مشاهده کمترین مقدار Zr در گارنت‌های ده سلم تایید می‌شود (شکل ۱۰)، زیرا کمترین مقدار این عنصر نیز در گارنت‌های سنگ‌های رسی دگرگونه درجه پایین گزارش شده است [۳۵]. تمرکز ایتریوم در اسپسارتیت‌ها و گارنت‌های غنی از سازنده آن باعث شده است که در برخی مناطق جهان، مقدار Y به بیش از ۲ درصد وزنی نیز برسد [۷، ۳۶]. از آنجا که شعاع یونی LREE‌ها به Ca<sup>2+</sup> نزدیک تر است، گارنت‌های غنی از کلسیم مانند تنبور با سنگ مادر رسی-مارنی و زمان‌آباد در مقایسه با انواع فقیر از کلسیم از LREE‌ها غنی ترند [۳۳]، اما در گارنت‌های میشدون که کمتر از ۱٪ CaO دارند، بیشترین مقدار LREE‌ها دیده می‌شود.

نوع و مقدار تمرکز عناصر خاکی نادر در گارنت‌های دگرگونی به مقدار اولیه این عناصر در سنگ مادر، شیمی-بلور گارنت، آهنگ رشد، ضرایب تفکیک، ترکیب شیمیایی سیالهای احتمالی، نسبت حجم آب به سنگ (W/R) و شرایط فشار-دما بستگی دارد [۳۳]. چهار سازوکار اصلی برای توزیع عناصر کمیاب در بلورها معرفی شده است جذب سطحی، لخته شدگی، جایگزینی و محلول جامد [۳۴]. دو فرایند نخست با سینتیک رشد و دو فرایند بعدی با شیمی بلور کنترل می‌شوند. از این چهار سازوکار، تاکنون جایگزینی یونی بیشتر بررسی شده است. در کانی‌های گروه گارنت با فرمول شیمیایی کلی  $X_3Y_2Z_3O_{12}$  جایگاه X مربوط به کاتیون‌های دو ظرفیتی (Ca, Mg, Mn<sup>2+</sup>) با همایی ۸، جایگاه Y برای کاتیون‌های سه ظرفیتی (Fe<sup>3+</sup>, Al, Fe<sup>3+</sup>) با همایی ۶ و جایگاه Z با همایی ۴ مربوط به Si است [۳۴]. با توجه به نوع و شعاع یونی کاتیون، عناصر خاکی نادر فقط در جایگاه X جانشین عنصر میزبان می‌شوند. در فشارهای بالای دگرگونی، با توجه به ساختار فشرده گارنت، عناصر کمیاب با شعاع یونی کوچکتر (از جمله HREE‌ها) ترجیح داده می‌شوند [۳۵]. جانشینی REE‌های سه ظرفیتی با کاتیون‌های دو ظرفیتی در جایگاه X گارنت نیاز به جابجایی و جایگزینی یونی در جایگاه‌های دیگر به منظور ایجاد تعادل بار اصلی دارد. در توجیه چگونگی جانشینی Y+REE با همراهی سازوکار پیشنهاد شده است [۸]: (۱) جانشینی گارنت ایتریوم آلومینیوم (YAG) که در گارنت‌های غنی از اسپسارتیت پگماتیت‌ها و گارنت‌های دگرگونی معرفی شده است:  $[X(Y, \text{REE})^{3+}]_1^{Z}(\text{Al}^{3+}, \text{Fe}^{3+})_1^{X}(\text{R}^{2+})_1^{-1} \text{Si}_1^{-1}$ . (۲) جانشینی همراه با پیوستن Na به جایگاه X که برای گارنت‌های دگرگونی ارتوگنیس‌ها معرفی شده است:  $\text{Menzerite-(Y)} [\text{Na}^+]_1 (\text{Y,REE})^{3+} (\text{R}^{2+})_{-2}$ . (۳) جانشینی (Y)-Menzerite با گارنت‌های گرانولیت‌های فلزی گزارش شده است:  $[X(\text{Y,REE})^{3+}]_1 \text{YR}^{2+}_1 \text{X} \text{R}^{2+}_1 \text{Y} (\text{Al,Fe})^{3+} \text{R}^{2+}_1$ . (۴) جایگزینی هم ظرفیتی در گارنت توده‌های گرانیتی که ممکن است بخشی از همان روند جایگزینی (Y)-Menzerite باشد:  $[(\text{Y,REE})^{3+}]_1 \text{Al}^{3+}_1$ .

ترکیب کانی شناسی گارنت‌های مناطق مورد بررسی در این پژوهش از نوع آلماندین‌های غنی از منیزیم و منگنز هستند که بیشینه سازی اوگراندیتی (با بیشترین درصد گروسولار) در



شکل ۱۰ تغییرات عناصر U, Th, Zr, Rb, Sr و Ba نسبت به LREE

می‌توان سنگ مادر این دو منطقه را غنی تر از HREE در نظر گرفت.

الگوی شناخته شده برای عناصر خاکی نادر گارنت‌ها در سه نمونه میشدون، تنبور و زمان‌آباد ۲ وجود ندارد. به عبارتی، الگوی نمونه‌های ده‌سلم و زمان‌آباد ۱ شباهت بیشتری به الگوی معمول گارنت‌ها دارد اما در میشدون و تنبور الگوی ۷ شکل و در زمان‌آباد ۲ الگویی صاف با تفکیک شدید LREE‌ها نسبت به HREE‌ها دیده می‌شود. داده‌های زمان‌آباد ۲ با وجود ابعاد بزرگ این شکفته بلورها که نشانه رشد در محیط‌های مساعد و سرشار از سیال است، به احتمال بسیار نشانگر مشکلات تجزیه و جدایش ناکامل میانبارها از گارنت به ویژه آپاتیت (با ۱/۶ درصد فسفر) است. چنان که پیشتر حضور بلورهای آپاتیت و کوارتز به صورت میانبار در بررسی‌های میکروسکوپی دیده شد (شکل‌های ۵ پ و ت). مقدار سیلیس این نمونه نیز بطور غیرعادی بالاست. هرچند REE‌ها قادر به جایگیری در شبکه

الگوی معمول عناصر خاکی نادر عادی بهنجار شده به کندریت برای اغلب گارنت‌های غنی از آلومینیوم دگرگونی (و ماقمایی)، بیانگر غنی‌شدنی شدید HREE‌ها به LREE‌هاست. همچنین بخش LREE آنها اغلب زیر عدد یک نمودار قرار دارد و به ندرت تا چند برابر کندریت غنی‌شدنی نشان می‌دهند [۳۸]. در شکل ۸، همه نمونه‌ها نسبت به کندریت بیش از ۱۰ برابر غنی‌شدنی نشان می‌دهند. دلیل غنی‌شدنی همه عناصر را می‌توان به غنی بودن سنگ مادر از این عناصر نسبت داد. رسوب‌های رسی سرشار از کانی‌های رسی اغلب شامل مقدار زیادی REE هستند [۳] که طی فرایند دگرگونی، در فازهای مختلف جای می‌گیرند. افزون بر این، رسوب‌های رسی میشدون بیشتر با توفها و سنگ‌های آتشفسانی اسیدی همراه بوده که در اصل دارای غنی‌شدنی بیشتری از LREE‌ها هستند. در مقابل، با حضور بین لایه‌ای ارتو آمفیبولیت‌های برآمده از سنگ‌های بازی (فرابازی) سرشار از کانی‌های مافیک با رسوب‌های رسی ده‌سلم و زمان‌آباد،

گارنت می‌تواند REE های گارنت را دستخوش تغییر کند [۴۵، ۴۶]. حضور کانی زیرکن نیز عامل دیگری است که می‌تواند منجر به کاهش مقدار HREE ها از گارنت مجاور شود، زیرا  $Kd_{HREE}$  زیرکن‌ها بیشتر از گارنت است [۱]. رشد پس از زمین ساخت کانی تورمالین و تشکیل کانی‌های خانواده اپیدوت در سنگ‌های دگرگونی می‌شدون (شکل ۶) می‌تواند شاهدی بر عملکرد سیال‌ها و اثر مستقیم بر تغییر الگوی REE ها در گارنت‌های این منطقه باشد. گارنت‌های تنبور و می‌شدون افرون بر داشتن بیشترین مقدار LREE ها، بیشترین مقدار Rb و Ba ( فقط در می‌شدون) را دارند (شکل‌های ۹ و ۱۰). اندازه یونی بزرگتر عناصر سنگ دوست بزرگ یون (LILE) نسبت به جایگاه با همارابی ۸ ساختار گارنت، بدین معنی است که گارنت‌ها در اصل از LILE تهی هستند. بنابراین افزایش این عناصر در گارنت‌های این دو منطقه را می‌توان به نقش بیشتر سیال‌ها در این مناطق نسبت داد.

Eu ویژگی دیگر گارنت‌های مورد بررسی، ناهنجاری منفی است. ناهنجاری منفی Eu می‌تواند چند دلیل باشد [۴۶]: (۱) رشد پلازیوکلاز غنی از Eu طی یا پیش از رشد نهایی یا متعادل گارنت Eu را نسبت به سایر REE ها کاهش می‌دهد، (۲)  $Eu^{2+}$  نسبت به سایر REE ها کمتر دستخوش باز تفکیک Eu<sup>2+</sup> بین گارنت و سیال شده و یا مقدار زیادی از مایع غنی از  $Eu^{3+}$  پیش از رشد نهایی گارنت از سامانه حذف می‌شود و (۳) کاهش اکسیژن طی دوره رشد نهایی گارنت نسبت  $Eu^{2+}/Eu^{3+}$  را در مایع همزیست بالاتر برده و اجزاء ورود Eu به گارنت را می‌گیرد (Eu<sup>2+</sup> در گارنت کمتر از  $Eu^{3+}$  سازگار است). ناهنجاری منفی (Eu<sup>2+</sup>) در گارنت از ایجاد  $fO_2$  سازگار است. ناهنجاری منفی Eu به همراه ناهنجاری مثبت Ce (جدول ۲) نشان دهنده گریزندگی پایین اکسیژن ( $fO_2$ ) در محیط و سیال است. با کاهش  $fO_2$ ، حلایت U در سیال گرمابی کاهش می‌یابد و این امر می‌تواند ورود U را به گارنت افزایش دهد [۴۷]. در مقابل، افزایش  $fO_2$  مایع باعث افزایش حلایت U و کاهش ورود U به کانی می‌شود. این فرآیند برای توصیف تغییرات U در گارنت‌ها از ذخایر اسکارن Fe-Zn Xeertala در شمال چین مطرح

کوارتز نیستند، اما آپاتیت سرشار از LREE ها می‌تواند الگوی عناصر خاکی نادر این نمونه‌ها را تغییر دهد.

غنى‌شديگی LREE ها نسبت به HREE ها در گارنت‌های بسياري از مناطق ايران و جهان گزارش شده است [۱۲، ۳۳، ۴۱-۴۹] که بيشتر گارنت‌های از نوع آندراديت-گرسولار (گرانديتي) اسکارن و داراي ناهنجاری مثبت Eu هستند [۳۵]. صرف نظر از ترکيب سنگ مادر، اغلب پژوهشگران عملکرد سیال‌های غنى از عناصر خاکی نادر را مهمترین عامل غنى‌شديگی LREE ها نسبت به HREE ها دانسته‌اند. حجم بالاي سیال طی دگرگونی پیشرونده سنگ‌های رسوبی و واکنش‌های آبزدا به وجود می‌آيد [۴۲]. افزایش فشار دگرگونی، حضور سیال‌ها (گرمابي) و حجم‌های بالاي سیال همراه آنيون‌های پيچيده (کربنات، فسفات، و هاليد) در سامانه‌های دگرگونی تحرک بيشتر LREE ها نسبت به HREE ها را در پي دارد [۱، ۳۸]. اين فرایندها سبب می‌شود تا فراوانی REE ها در سنگ‌های دگرگونی به طور قابل ملاحظه‌ای از سنگ مادر آنها متفاوت باشد و مقدار REE ها به ويزه LREE ها در سنگ کاهش يابد. به عقيده لي و همكاران [۳۸] پس از دور شدن از شرایط اوج دگرگونی طی آبگيری و تشکيل فازهای کانیابی دگرگونی پیشرونده، اگر فاز سیال غنى از LREE ها باشد، اين عناصر بين کانی‌ها باز توزيع می‌شوند. در اين مرحله، نقش کانی در حال تعادل (و يا تبلور) و مقدار ضرائب تفکیک عناصر کانی به سیال اهمیت می‌يابد. از آنجا که عناصر خاکی نادر در شرایط اسیدی (pH پايان) و حضور آنيون‌های فراوان، تحرک بالايی دارند [۴۳]، الگوی با بيشترین غنى‌شديگی از LREE ها در گارنت‌های مجموعه می‌شدون را می‌توان به دگرنهادی فلئور و بور که باعث ايجاد تورمالین در سنگ‌ها شده‌اند و تبلور کانی اپیدوت در فازهای بعدی دگرگونی نيز نسبت داد. تورمالین‌ها به طور کلي با غلظت‌های متغير و به نسبت بالاي Y+REE و Sc مشخص می‌شوند [۴۴]. همچنین نسبت به گارنت در کلينوزوئيزيت، عناصر Nd و Sm از Yb سازگارترند بنابراین مداخله کلينوزوئيزيت در رشد

- metamorphic rocks", Journal of Asian Earth Sciences* 145 (2017) 130–148.
- [2] Voncken J., "The Rare Earth Elements an Introduction", SpringerBriefs in Earth Sciences (2016) 137 PP.
- [3] Sarapää O, Ani T. A., Lahti S. I., Lauri L. S., Sarala P., Torppa A., Kontinen A., "Rare earth exploration potential in Finland", *Journal of Geochemical Exploration* 133 (2013) 25–41.
- [4] Lesnov F. P., "Consistent patterns of rare earth element distribution in accessory minerals from rocks of mafic-ultramafic complexes", *Open Geosciences Central European Journal of Geosciences* 5 1 (2013) 112-173.
- [5] Gatewood M. P., Dragovic B., Stowell H. H., Baxter E. F., Hirsch D. M., Bloom R., "Evaluating chemical equilibrium in metamorphic rocks using major element and Sm–Nd isotopic age zoning in garnet, Townshend Dam, Vermont, USA", *Chemical Geology* 401 (2015) 151–168.
- [6] Sun C., Liang Y., "A REE-in-garnet-clinopyroxene thermobarometer for eclogites, granulites and garnet peridotites", *Chemical Geology* 393–394 (2015) 79–92.
- [7] Marsh J.H., Grew E.S., Gerbi Ch.C., Yates M.G., Culshaw N.G., "The petrogenesis of the garnet menzelite-(Y) in granulite facies rocks of the Parry Sound Domain, Grenville Province, Ontario", *Canadian Mineralogist* 50 (2012) 73–99.
- [8] Höning S., Čopjaková R., Škoda R., Novák M., Dolejš D., Leichmann J., Galiová M. V., "Garnet as a major carrier of the Y and REE in the granitic rocks: An example from the layered anorogenic granite in the Brno Batholith", *Czech Republic American Mineralogist*, 99, (2014) 1922–1941.
- [9] Mokhtari M.A.A., Emami M.H., "REE pattern and REE mineralization in apatite-magnetite deposits of Bafq-Saghand district (central Iran)", *Geosciences, Scientific Quarterly Journal, Special Issue* 17 1 (2008) 162-169.
- [10] Tajbakhsh G., Emami M.H., Moine Vaziri H., Rashidnejad Omran N., "Petrography, geochemistry and emplacement mechanism of Hashtsar ring complex (in Persian)", *Geosciences* 73 (2009) 123-132.

شده است [۴۸]. همبستگی شدید بین فراوانی U و الگوهای LREEها (شکل ۱۰) نشان می‌دهد که همان فرآیندهای غنی کننده عناصر خاکی نادر سبک بر توزیع U در گارنت اثر گذاشته‌اند.

### برداشت

گارنت‌های متبلور شده در فازهای مختلف دگرگونی ناحیه‌ای موثر بر مناطق دهسلم، زمان‌آباد، میشدوان و تنبویر غنی‌شدگی به نسبت زیادی از عناصر کمیاب را نشان می‌دهند. مقدار این عناصر رابطه مستقیم و خوبی با درصد  $\text{Al}_2\text{O}_3$  و  $\text{MnO}$  آلماندین دارند به طوری که بیشترین تمرکز عناصر کمیاب (۵۵۲ ppm و Y (۱۱۲۲ ppm) در گارنت‌های دهسلم دیده می‌شود. جانشینی از نوع YAG در گارنت‌های غنی از اسپسارتیت مناسب‌ترین گزینه برای توجیه جانشینی با کاتیون‌های میزان در همارای ۸ به نظر می‌رسد. به دلیل غنی بودن رسوب‌های رسی سنگ مادر، REE‌های همه نمونه‌ها نسبت به کندریت غنی شده‌اند. بر عکس غنی‌شدگی بالای LREE‌ها که در گارنت‌های دهسلم و زمان‌آباد، گارنت‌های میشدوان و تنبویر غنی‌شدگی بیشتر LREE‌ها نسبت به HREE‌ها را نشان می‌دهند که با الگوی شناخته شده برای گارنت‌ها متفاوت است. سیال‌های سرشوار از LREE‌ها و آنیون‌های پیچیده هالید و فسفات می‌توانند عامل این غنی‌شدگی باشند. بی نظمی‌هایی که کم و بیش در توزیع عناصر کمیاب در برخی نمونه‌ها دیده می‌شود، افزون بر مشکلات فنی در خالص سازی نمونه‌ها، می‌تواند مربوط به نقش تبلور کانی‌های همبر، کانی‌های فرعی میانبار و تجزیه‌ای ناشی از دگرگونی قهقاری و مقدار ضرایب تفکیک عناصر کمیاب آنها نسبت به گارنت باشد. ناهنجاری منفی Eu و مثبت Ce و غنی‌شدگی بیشتر گارنت‌های میشدوان و تنبویر از LILE‌ها نسبت به دهسلم و زمان‌آباد می‌توانند شاهدی بر نقش مهم سیال‌ها و گریزندگی کم اکسیژن باشند.

### مراجع

- [1] Xiaa Q.X., Zhou L.G., "Different origins of garnet in high pressure to ultrahigh pressure

- [21] Bahramnejad A., Bagheri S., Ahmadi A., Zahedi A., "Progressive metamorphism in metapelites of the Deh-Salm metamorphic complex, east of the Lut block according to garnet-biotite thermometry (in Persian)", Scientific Quarterly journal, Geosciences 26 102 (2017) 325-338.
- [22] Mahmoudi S., Masoudi F., Corfu F., Mehrabi B., "Magmatic and metamorphic history of the Deh-Salm metamorphic Complex, Eastern Lut block, (Eastern Iran), from U-Pb geochronology" International Journal of Earth Sciences 99 (2010) 1153–1165.
- [23] Ramezani J., Tucker R., "The Saghand region, Central Iran: U-Pb geochronology, petrogenesis and implication for Gondwana tectonics", American Journal of Science 303 (2003) 622–665.
- [24] Moazzen M., "Study of the Kuh-e-Tanbour metamorphic complex with special reference to the garnet-rich layers", Kerman University, Iran, M.Sc. thesis (1993) 162 p.
- [25] Moradian A., Peighambari K., Ahmadipour H., "Petrography, mineral chemistry and petrogenesis of metapelites of the Tanboobuar metamorphic complex, east of Sirjan (Kerman province) (in Persian)", Iranian Journal of Crystallography and Mineralogy 13 2 (2013) 347-362.
- [26] Javadi Bani A., "Study of clay and semi-clay metamorphic rocks in Mount Tabor, southeast of Sanandaj-Sirjan (in Persian)", Tabriz University, Iran, M.Sc. thesis, (2014).
- [27] Gourabjiri-pour A.; Hosmandzadeh, A.R.; Khosro-Tehrani Kh., Emami M.H., "Protoliths of Boneh-Shorou Amphibolites in Gelmandeh massive (Saghand-Central Iran) (in Persian)", Journal of Environmental Geology 3 4 (2009) 7-24.
- [28] Peighambari S., Jamshidi Badr M., Heidarian H., "The Petrofabric and geochemistry of garnet porphyroblast in Khajoo and tanbor metamorphic complexes (East Sirjan) (in Persian)", 6th National Geological Conference of Payame noor University (2012).
- [29] Moazzen M., "Investigation of the formation of coarse and dense minerals in the shear zone based on geochemical and petrofabric evidence,
- [11] Tajbakhsh G., Emami M.H., Moine Vaziri H., Rashidnejad Omran N., "Petrology, Geochemistry and Tectonomagmatic Setting of Kaleybar Intrusion (Eastern Azarbaijan) (in Persian)", Geosciences 22 85 (2012) 205-224.
- [12] Zahedi A., Boomeri M., Mackizadeh M.A., "REE geochemistry in skarn garnets from Khut and Panah-Kuh Ore deposit, West of Yazd (in Persian)", Petrology 4 13 (2013) 47-66.
- [13] Abedini A., Calagari A.A., Hadjalilu B., "Geological - mineralogical characteristics and trace-elements geochemistry in Aghadjari bauxite deposit, south of Shahindezh, NW of Iran (in Persian)", Iranian Journal of Crystallography and Mineralogy 16 2 (2008) 346-356.
- [14] Samani B., "Metallogeny of the Precambrian in Iran", Precambrian Research, 39, (1988) 85-106.
- [15] Ehya F., "Geochemistry of rare earth elements in fluorite from the Bozijan (Chekap) deposit, Markazi Province (in Persian)", Journal of Advanced Applied Geology 1 2 (2011) 113-125.
- [16] Shahraz S., Kohsary A.H., "study of Trace and Rare Earth Elements in coal Basins of Iran (in Persian)", Iranian Journal of Crystallography and Mineralogy 22 (4) (2015) 685-696.
- [17] Ghalehnoee M.H., Kohsary A. H., "The study of distribution of monazite and REE in the Marvast alluvium Yazd Iran in Persian)", Iranian journal of crystallography and mineralogy, 22 4 (2015) 621-630.
- [18] Droop G.T.R., "A general equation for estimating  $Fe^{3+}$  concentrations in ferromagnesian silicates and oxides from microprobe analyses, using stoichiometric criteria", Mineralogical Magazine 51 4 (1987) 431-435.
- [19] Aghanabati A., "Geology of Iran (in Persian)", Geological Survey of Iran, Tehran, (2004) 606 pp.
- [20] Masoudi F., Mehrabi B., Mahmoudi S., "Garnet (almandines-pessartine) growth zoning and its application to constrain metamorphic history in Deh Salm Complex, Iran," Journal of Sciences Islamic Republic of Iran 17 3 (2006) 235-244.

- [38] Li J., Du J., Chang Q., Liu L., Cui Y., Xie C., Sun U.Y., "REE concentrations of garnet and omphacite in eclogites from the Dabie Mountain, central China", Chinese Journal of Geochemistry 32 (2013) 085–094 85–94
- [39] Moor F., Deymar S., Taghipour B., "Geochemistry of Rare Earth Elements and mineral chemistry of garnet in Darreh Zerreshk skarns (southwest of Yazd)", Iranian Journal of Crystallography and Mineralogy 21, 3 (2013) 431-444.
- [40] Park C., Song Y., Kang I.M., Shim J., Chung D., Park C.S., "Metasomatic changes during periodic fluid flux recorded in grandite garnet from the Weondong W-skarn deposit, South Korea", Chemical Geology 451 (2017) 135–153.7.
- [41] Sepidbar F., Mirnejad H., Li J.W., Wei C., Georgee L.L., Burlinson K., "Mineral geochemistry of the Sangān skarn deposit, NE Iran: Implication for the evolution of hydrothermal fluid", Chemie der Erde 77 (2017) 399–419.
- [42] Li Y., Du J., "Thermodynamic calculation on the phase transformation and water release of subducted sediment from 10 to 35 kbar", Journal of Physics and Chemistry of Solids 71 (2010) 1077–1083.
- [43] Lottermoser B.G., "Rare earth elements and hydrothermal ore formation processes", Ore Geol. Rev. 7 (1992) 25–41.
- [44] Čopjaková R., Škoda R., Vašinová Galiová M., Novák M., "Distributions of Y+REE and Sc in tourmaline and their implications for the melt evolution; examples from NYF pegmatites of the Třebíč Pluton, Moldanubian Zone", Czech Republic Journal of Geosciences 58 (2013), 113–131.
- [45] Gulbin Y. L., "Zonal REE+Y Profiles in Garnet and Their Genetic Implications: A Case Study of Metapelites from the Northern Ladoga Region", Geology of Ore Deposits Vol. 58 No. 7 (2016) 559-567.
- [46] Hickmott D. D., Spear F. S., "Major-and trace-element zoning in garnets from calcareous pelites in the NW Shelburne Falls Quadrangle, Massachusetts: garnet growth histories in an example of South Iran's metamorphic belt", 3Th symposium of Crystallography and Mineralogy of Iran, (1994).
- [30] Safei K., "Mineralogy of metamorphic rocks of the Tonbour complex in north east of Sirjan", 30th Symposium of Geosciences, (2012).
- [31] Moazzen M., "Chlorite-chloritoid-garnet equilibria and geothermometry in the Sanandaj-Sirjan metamorphic belt, southern Iran", Iranian Journal of Science & Technology, Transaction A, 28 A1 (2004).
- [32] Sun S.S., McDonough W.F., "Chemical and isotopic systematics of oceanic basalts: implications for mantle composition and processes", in: Saunders AD, Norry MJ (Eds) Magmatism in the ocean basins, Geological Society London Special Publication 42 (1989) 313–345.
- [33] Peng H.j., Zhang C.Q., Mao J.W., Santosh, M., Zhou Y.M., Hou L., "Garnets in porphyry-skarn systems: A LA-ICP-MS, fluid inclusion, and stable isotope study of garnets from the Hongniu–Hongshan copper deposit, Zhongdian area, NW Yunnan Province", China Journal of Asian Earth Sciences 103 (2015) 229–251.
- [34] Gaspar M., Knaak C., Meinert L. D., Moretti R., "REE in skarn systems: A LA-ICP-MS study of garnets from the Crown Jewel gold deposit", Geochimica ET Cosmochimica Acta 72 (2008)185-205.
- [35] Bea F., Montero P., Garuti G., Zacharini F., "Pressure dependence of rare earth element distribution in amphibolite and granulite-grade garnets. A LA-ICP-MS study", Geostandards News letter, 21 (1997) 253–270.
- [36] Grew E.S., Marsh J.H., Yates M.G., Lazic B., Armbruster T., Locock A., Bell S.W., Dyar M.D., Bernhardt H.J., Medenbach O., "Menzerite-(Y), a new species,  $\{(Y, \text{REE}) (Ca, Fe^{2+})_2\}[(Mg, Fe^{2+})(Fe^{3+}, Al)(Si_3O_{12})]$ , from a felsic granulite, Parry Sound, Ontario, and a new garnet end-member,  $\{Y_2Ca\}[Mg_2](Si_3O_{12})$ ", The Canadian Mineralogist 48 (2010) 1171–1193.
- [37] Jaffe H.W., "The role of yttrium and other minor elements in the garnet group", American Mineralogist 36 (1951) 133–155.

on processes in a dynamic hydrothermal system", Journal of Petrology 45 (2004) 457-484.

[48] Zhai D.G., Liu J.J., Zhang H.Y., Wang J.P., Su, L., Yang, X.A., Wu, S.H., "Origin of oscillatory zoned garnets from the Xieertala Fe-Zn skarn deposit, northern China: *in situ* LA-ICP-MS evidence", Lithos 190 (2014) 279–291.

retrograded rocks", Journal of Petrology 33 (1992) 965-1005.

[47] Smith M.P., Henderson P., Jeffries T.E.R., Long J., Williams C.T., "The rare earth elements and uranium in garnets from the Beinn an Dubhaich Aureole, Skye, Scotland, UK: constraints